

仪表及电工用精密合金译文集

硅 鋼 片

周光地 主編

机械工业出版社

71175
557
27

仪表及电工用精密合金译文集

硅 鋼 片

周光地主编



仪表及电工用精密合金译文集

硅 鋼 片

周 光 地 主 編

*

机械工业出版社出版 (北京苏州胡同111号)

(北京市书刊出版业营业登记证字第117号)

中国工业出版社第四印刷厂印刷

新华书店北京发行所发行·各地新华书店经售

*

开本 850×1168 1/82 印张 16 11/16 · 插页 1 · 字数 433 千字

1966年2月北京第一版·1966年2月北京第一次印刷

印数 0,001—2,570 · 定价(科七)2.80 元

*

统一书号: 15033 · 3711

序

为了配合我国經濟建設的发展，提高仪表及电工用精密合金制造的技术水平，机械工业出版社决定組織出版仪表及电工用精密合金譯文集，以帮助中級的研究人員、工程技术人员和大专教師了解本专业的情况和今后发展方向；为他們系統地提供国外有价值的技术經驗和理論知識，以促进这方面科学的研究課題的解决，并推进生产和教学工作。

在挑选国外文献时，一般具有如下几个特征：一是系統性。系統性包含两个涵意：1. 从历史观点按时间先后选择各个发展阶段的文献；2. 全面地介紹各國各学派代表人物的論点或各国的生产經驗，帮助讀者了解本专题的全面情况。二是代表性。即把內容大同小异或論点相同的选其最有价值、最全面的一、二篇；也就是从大量文献資料中进行比較、分析，取其精华，使讀者用最少的时间讀到最优秀和最有用的东西。三是理論性。我們組織譯文集的意图主要不在于給讀者提供解决問題的特效药方，而是引进国外技术文献后，讀者在吸取別人的經驗和研究成果的基础上触类旁通，結合自己具体条件，創造性地加以运用。

我們組織出版这种譯文集还没有經驗，希望讀者們給予大力支持，并提出宝贵意见。

机械工业出版社

1964年8月



前　　言

硅鋼片是电机、电器、电訊工业的主要磁性材料，是鋼鐵工业中产量相当大的一种特殊鋼。它在工业上虽然早已得到广泛应用，可是至今仍然繼續不断地发展着极其重要的新品种。六、七十年以来，硅鋼片得到冶金、物理、电工等工作者的很大重視，对它的結構理論、性能特点、制造工艺等都进行了不遺余力的研究，使硅鋼片的面貌日益丰富多彩。

粗略地讲，从 1900 年問世以后，它使电机及变压器的結構及特性，发生一次革命性的变革。到 1935 年出现冷軋硅鋼片，进入一个新的阶段，当时应用磁畴观察的研究技术，和冷軋、保护气中退火等新工艺，获得变压器行业十分欢迎的品种。至 1957 年又进入另一大发展阶段。在研究微量杂质的作用、压延对織构的影响及二次再結晶过程等的基础上，并采用电子显微鏡及 X 光試驗工具，以及真空熔炼、軋薄技术、真空退火等新工艺及新装备，使具有理想单晶特性的立方織构硅鋼片，从 1957 年在實驗室发现之后，就迅速在工业中試行生产。

十年来，根据对硅鋼片結構及工艺特性間关系的了解，还在工业生产中大量制造出弱方向性的冷軋硅鋼帶來代替热軋硅鋼片，它的特性較热軋片有所提高，而且具备自动化連續生产的条件，以及在自动装备中加工使用的条件。

本文集首先全面叙述硅鋼片的发展进程、一般制造工艺过程、目前世界各国的主要系列及质量对比、发展趋向等；其次介紹各种測磁方法及供研究試驗和生产檢驗用的測磁裝置，着重接近应用条件下对铁损及磁滞迴線的研究，如交变場中的磁化曲綫及旋轉場中的铁损等，作为电机、电器設計的参考；然后概述材料的組成与結構，闡明气体、非金属夹杂物以及晶体缺陷在硅鋼

中形成复杂結構，妨碍磁化过程；并重点論述晶粒取向問題，从单晶的各向异性，多晶的磁畴观测，以至冷軋取向硅鋼片。

在分論中，按材料的应用范围大致分五部分，根据國內生产及科研的现实意义或当前世界上的潮流，分清各部分內容的側重點。弱織构的冷軋硅鋼片是适应电机应用条件而发展出来的品种，它的磁性在各个方向上相差很少，和热軋片相似，但它的磁性、平正度、韧性等都比热軋片好；因此較多地推荐它的性能，以便于广泛采用。对于变压器硅鋼片，按我国生产发展的要求，着重介紹一些新工艺，对重要工序各选一两篇。在弱电用的多品种硅鋼片方面，特別提出初导磁率、矩形磁滞迴線、及高頻等特性良好的品种，它們常常分別利用高純度、磁场热处理及軋薄来实现。对冷軋硅鋼片的磁性的方向性、磁畴观测及二次再结晶机理，三十年来进行了很多研究工作；从研究試制的需要出发，除介紹方向性的形成机理及实验根据以外，并說明如何創造条件来保証良好的方向性。六、七年來，双取向硅鋼片的文章盛极一时，为此着重选择几篇关于形成机理的文章，如表面能的作用，附带說明样品特性、制备技术及研究方法，作为开展研究工作的参考。

书末附录約十年来对硅鋼片的論文索引約八百篇，較細致地分为約五十类，并以譯名刊出，供讀者作进一步钻研的线索。

主　編

目 录

序

前言

第一篇 总 论

一、 硅钢片发展概况	1
电工钢片的发展方向	1
硅钢片与硅钢带	15
二、 磁性测量及接近应用条件的主要特性	42
电工钢片在试验室和生产中的测量	42
关于按照新标准测量电工钢磁特性的問題	58
电工钢片磁性的方向性及其測量	65
旋轉磁通产生的鐵心損失	78
在直流磁场和交变磁场中測得的电工钢磁化曲线的比較	81
在高磁通密度下电工钢片的鐵損	88
三、 材料的组成与结构	110
硅钢的磁性及金相結構的进展	110
变压器钢中非金属杂质的研究及其对交变磁化鐵損的影响	118
磷对电机鋼的組織和性能的影响	132
硅钢单晶的磁性	149
硅钢单晶的磁滞图	157
晶体取向的完善度及磁滞結構对于能量損失的相依关系	199
論鐵磁材料的磁化過程	204

第二篇 分 论

四、 冷轧电机钢的特性	213
冷轧电机硅钢帶	213
冷轧弱織沟电工鋼的性能	227

0.35 毫米冷轧电机钢	231
生产冷轧弱磁构电工钢的简化工艺	236
五、变压器钢的新工艺	250
对电弧炉熔炼变压器钢工艺的研究	250
真空熔炼对变压器钢性能的影响	250
电工硅钢真空熔炼过程的研究和杂质对性能的影响	260
冷轧制度对变压器钢磁性能的影响	272
硅钢的加热过程、加热设备和方法的讨论	279
低铁损的热轧变压器钢	295
六、弱电用硅钢片的特性	304
高频率元件用极薄硅钢片	304
硅钢片的磁滞及涡流损失随片厚的变化	318
具有(110)[001]织构的高纯度3%硅钢卷铁心的磁性	322
3%到9%硅钢带的磁场退火	326
七、方向性硅钢片的形成条件	333
冷轧变压器硅钢片	333
硅钢单晶体的冷轧、初次再结晶和二次再结晶织构	347
硅钢的形变和再结晶	363
对变压器钢二次再结晶动力学的研究	376
高纯度硅钢中(110)[001]取向晶粒的成长——	
一种少有的二次再结晶方式	380
杂质对硅钢中(110)[001]织构的温度关系的影响	393
八、双取向硅钢片的形成机理	397
论立方织构硅钢片	397
硅钢中再结晶的立方取向	415
控制退火气氛成分促进3%硅-铁立方晶粒的成长	436
论硅钢中立方织构形成时表面能的作用	440
用电子显微镜研究高纯度硅铁(100)[001]晶	
体经冷轧及退火后的结构	448
立方织构变压器钢的磁性	476
硅钢片 文献分类索引	482

第一篇 总 論

一、硅鋼片发展概况

电工鋼片的发展方向

G. Rassmann

对于电工鋼片的发展趋势，不久以前 Reinboth 曾从电工技术的观点进行了論述，这种鋼每年的用量在一百万吨以上，包括在发电机、电动机和变压器中使用的电机鋼片及变压器鋼片，其含硅量为 4.5% 以下。因而有必要从金属学方面考虑如何进一步改善磁性的方式及工艺，以滿足电工制造业的要求，就是要求在較微弱磁场下，鋼片能达到高的磁感强度，而鉄損率又要尽量低。同时还有一些附加技术条件，特別是使片材具有低脆性和光滑平整的表面，以便获得高的填充系数。

在硅鋼单晶中存在着易磁化及难磁化方向，这是改进电工鋼片磁性的主要依据。在多晶体鋼片中，如果有适当的晶粒取向，也可以表现出同样的特性。要获得这种取向性，可以通过适当的二次再結晶，从而在鋼片中形成(110)面平行轧制面，[001]向平行于轧制方向的纖构。因为在硅鋼单晶中，[001] 向是易磁化方向，所以鋼片在轧制方向显示出最佳的特性。

纖构度与性能

图 1 表示有纖构及无纖构硅鋼片的磁化曲綫，并繪出符合电工技术要求的 DIN 标准及 TGL 规定的相应的变动范围。下半部

是無織構鋼片的磁化曲線，一般是經過熱軋製造成的。試驗室樣品所能達到的性能比較好，但好得並不太。按照 DIN46400 标准(曲線 a)所要求的最低值只畫出了曲線的一部分，而在 Reinboth 的文章中[1]，對於磁場大於 7.5 At/cm 的部分，數據也不全。這些數據還不能代表完全各向同性的硅鋼片，因為它們也具有一定程度的微弱織構度，還會在磁感值中反應出來。

當具有織構時，軋制方向為易磁化方向，它的磁感強度就比各向同性硅鋼片提高很多。目前在工業中大量生產的織構鋼，還只能是(110)面平行於軋制面、[001]向平行於軋制方向。這種簡單的織構使磁性只具有一個择优取向。大量工業生產的最佳織構硅鋼片的磁化曲線(曲線 d)處於 TGL 規定 015 的變動範圍的中間位置。曲線 f 是 Dresden 特殊金屬材料研究所(FMS)的實驗曲線，這種織構硅鋼片具有最高的磁感應和很低的矫頑力。在大量生產成品的性能數據與試驗樣品數據之間，還存在着很大距離，

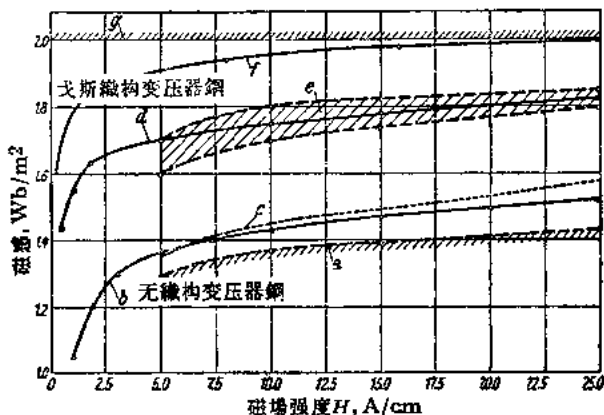


圖 1 有織構及無織構硅鋼片的磁化曲線：
 a—DIN 46400 标准中 IV 1.0 类鋼的最低值； b—無織構鋼的最佳值； c—Reinboth 的要求值； d—Goss 織構變壓器鋼； e—TGL015 條件中的範圍； f—FMS 實驗值； g—飽和磁化。

因此在提高产品性能方面还有很大的潜力。但是試驗样品的数据已經达到难以再显著提高的地步，它在磁場强度才 $25\text{At}/\text{cm}$ 时，即已趋近飽和磁感强度。

除高磁感值以外，还要求低鐵損率。图 2 說明織构度如何影响磁感值 B_{20} 及鐵損率 P_{15} 。曲線繪出在 900°C , 1000°C 及 1300°C 三个溫度退火后的性能。在这个退火溫度范围内，磁感值 B_{20} 只隨織构度改变，与退火溫度无关；可是鐵損率 P_{15} 一方面决定于織构度，而尤其重要的是受退火溫度的影响。这是由于，当提高退火溫度时，减少了磁滞损失，也就是减少了鐵損率；可是織构形式及磁化曲線的形状，在退火溫度高于 900°C 时，已經不再有明显的变化。

图 2 也繪出 Reinboth 提出的电工技术对简单取向及无方向性变压器鋼片的磁感值及鐵損率所要求的条件。根据此条件，若

要織构鋼片达到磁感值的要求，最少須具有 80% 以上織构度，若使弱織构鋼片达到鐵損率的要求，必須在 1100°C 以至 1300°C 退火。高磁感与很低鐵損率只能在織构度接近 100% 时才能实现。

如上所述，对各向同性变压器鋼片所要求的性能，也不能用无織构鋼来滿足要求。从图 2 可以看出，必須使織构度約为 20% 时，在 $900\sim1300^{\circ}\text{C}$ 范围内退火后，才能达到要求的磁感值。同

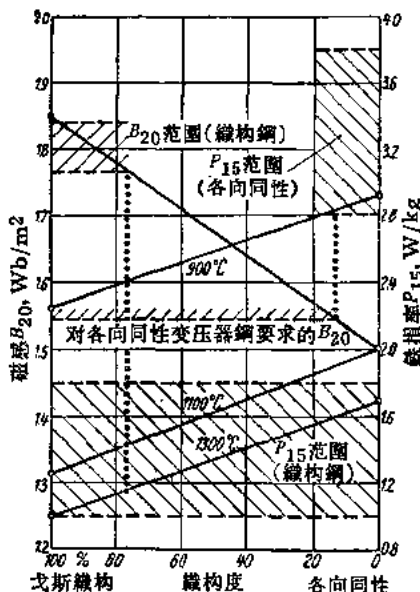


图 2 电工钢中織构度对鐵損率 P_{15} 及磁感值 B_{20} 的影响。

样，可以用弱織构鋼片在 900°C 附近退火以达到对鉄损率的要求。

按以上的分析，要了解織构鋼片的性能，必須知道它与織构度、材料成分及制造工艺等之間的关系。早在 1935 年，Goss 发现 $(110)[001]$ 織构的形成条件，需要一定的冷加工变形及热处理。必要的工艺过程，大約說来是：将 2 厘米厚的热轧片經過两次冷加工变形，先轧到 0.7 厘米，再轧到 0.35 厘米，在两次轧制之間，在 900°C 上下进行退火：最終退火溫度高于 1000°C ，通常在真空中，或在氩气中进行。以这套工艺来形成 $(110)[001]$ 織构的效果，也还要看热轧板材的状态及成分。这一点，在图 3 的例子中表示得很清楚。这是真空熔炼的 3% 硅鋼的織构度及晶粒度对于最終退火溫度的依賴关系。因此一方面热轧板材直接起作用，另一方面还有在后阶段加工工艺中的渗氮处理。即使原始織构度最多只有 60%，經過約 950°C 的最后退火，渗氮使織构度上升到 100%。在織构度上升时，晶粒也同时显著长大，如图 4 中照片所示，这种晶粒的长大是有选择性的。因为 $(110)[001]$ 取向的晶粒具有生长能力，且优先成长，最后使所有的晶体都轉变

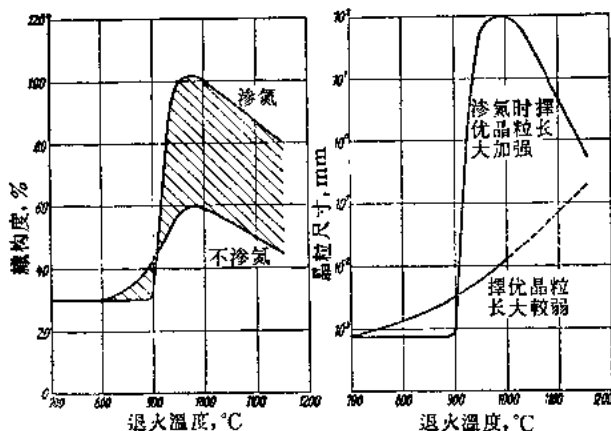


图 3 改进織构度的可能性(退火时间 6 小时)。

成(110)[001]織构，就得到100%的織构度。这个結果，可以从氮化处理得到加强，这时在晶粒边界上形成不均匀的化合物，为具有选择性的晶粒成长創造条件。在此情况下是氮化物发生作用；而在目前大量生产的織构鋼片中，可能是硫化錳起着重要的作用。

除上述单織构●以外，近几年来还出现立方織构硅鋼片，它在軋制方向和与之垂直的方向上都有优良的磁性。这种鋼片，在使用上当然很有好处。立方織构的成长同样是通过晶粒长大，可是这时扩张晶粒边界的动力，不是晶粒边界能，而是表面能。在厚度为0.05毫米以下的条带中，特別容易形成立方織构。与其它取向相比，(100)[001]織构优先长大的动力，不同于上节所述情况，而主要是由于在一定退火条件下，在硅鋼表面吸附着的外来原子促使(100)[001]織构开始形成，并帮助这种晶粒繼續长大[2]。对于大量生产立方織构鋼片的問題，目前还难确定。

图5及图6表示无織构、(110)織构及(100)織构等三种硅鋼片的矫頑力及铁损率的方向性变化情况。无織构鋼片的矫頑力约为0.28At/cm，与方向无关。立方織构鋼片在軋制方向及横向上的矫頑力均为0.1At/cm。(110)織构鋼片的矫頑力在軋制方向上也约为0.1 At/cm。可是在[111]方向上，也就是对軋制方向倾斜54°的方向上，矫頑力上升到0.3 At/cm；而在与軋制方向相垂直的方向上，也就是[110]方向上，矫頑力还稍微小一点。铁损率的方向性变化也与此很相似。这是由于略呈矩形的磁滞迴線所对应的损失，是与矫頑力成正比而增长的。值得注意的是，在軋制方向上，立方織构鋼片的铁损率大于单取向鋼片。对出现这种现象的原因了解得还不太清楚，似乎是立方織构鋼片中晶粒的大小与单取向鋼片中的是有所差别的。

在图2中已經表明，用織构度约为20%的鋼片，可以滿足

● 单織构或单取向指(110)[001]織构。——譯者

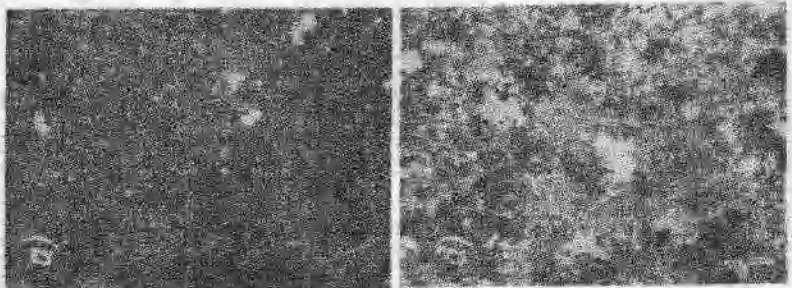
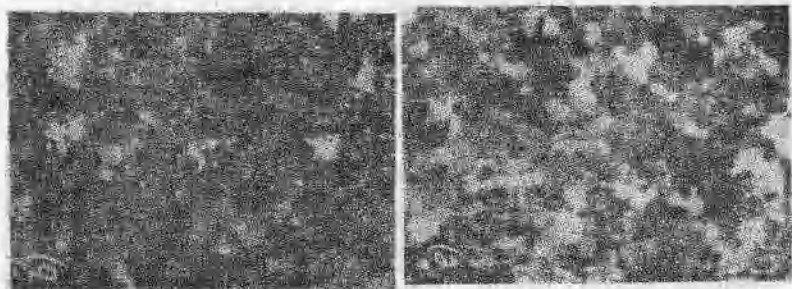
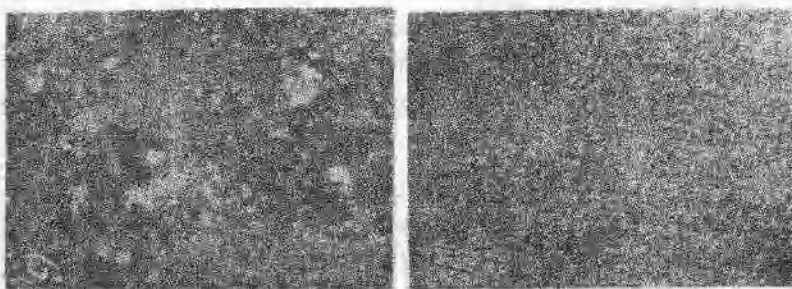
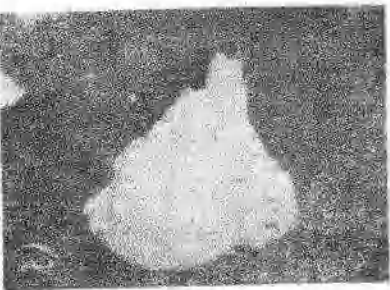
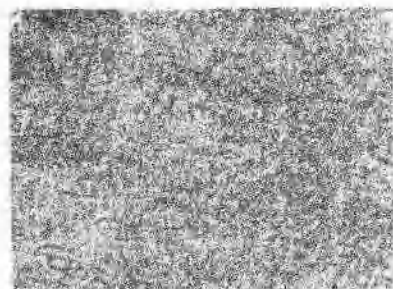
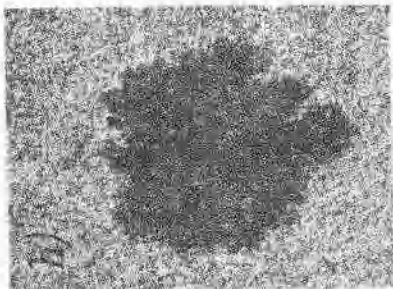




图 4 3% 锡钢的压粘晶。

n—300°C 3 小时
 b—900°C 6 小时
 v—950°C 3 小时
 d—950°C 6 小时
 e—1000°C 6 小时
 f—1025°C 2 小时
 g—1025°C 3 小时
 i—925°C 6 小时
 k—950°C 2 小时
 l—1150°C 6 小时
 真空烧炼硅钢，在氮中处理。



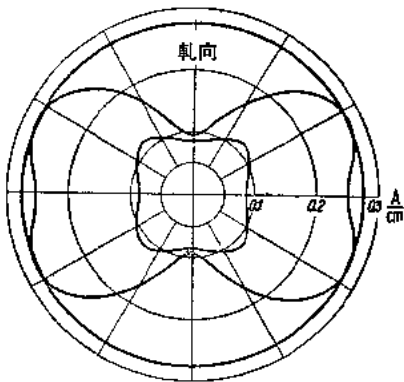


图 5 不同織构硅鋼片中矫顽力随方向的变化。

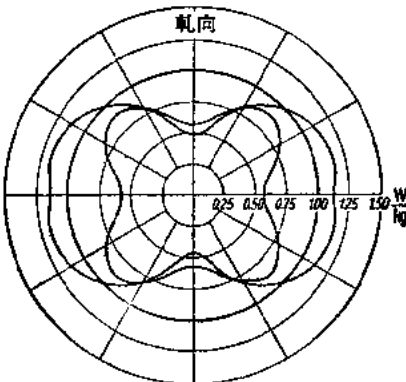


图 6 不同織构硅鋼中鐵損率随方向的变化。

Reinboth 为无織构变压器钢片提出的磁性数据的要求。图 3 又表明采用适当的工艺以形成 $(110)[001]$ 織构，在 900°C 以下退火后，可以得到约 30% 的織构度。这就是說，对于无織构变压器钢片性能所提出的要求，如果采用織构钢片，經過同样的工艺，即在 900°C 以下最后退火之后，可以得到解决。同时，按电工技术所要求，在与轧制方向倾斜不同程度的各个方向上的磁性数据，与平均数值的差別不应超过 10%。图 7 是冷轧变压器钢片，在 900°C 最后退火之后的铁损率 P_{10} 及磁感值 B_{15} 的方向性。在轧制方向上，磁感值超过了要求的条件，同时铁损率也比要求的数值

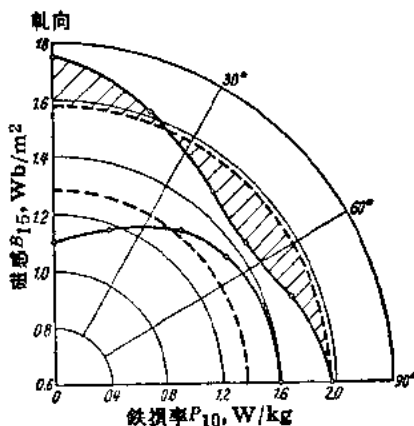


图 7 冷轧变压器钢中 B_{15} 及 P_{10} 随方向的变化 (900°C 最后退火)。

低。可是这些数值与平均值之间的差别大于 10%。为了真正满足电工技术的要求，还有必要再测定热轧片的磁性的方向性，需要使在各个方向上的性能数据与平均值之间的差别都不超过 10%，这些差值随着磁感强度的绝对值而不同。

铁损率

在磁化过程中出现的交变磁化铁损率，可以分为磁滞损失与涡流损失。磁滞曲线所包围的面积给出在每一交变磁化周期中的磁滞损失，在一些磁感强度下磁化曲线约为矩形时，磁滞损失与矫顽力成正比。如果成分的任何改变使矫顽力降低时，磁滞损失必定相应的下降，铁损率也由此得到改善。例如图 8 举出碳含量对铁损率 P_{10} 的影响。可以看出若要单组织钢片的铁损率低到 $P_{10}=0.5 \text{ W/kg}$ ，碳含量必须少于 0.006%。图 9 是铁损率与矫

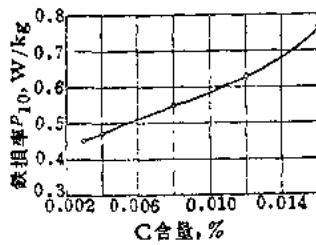


图 8 纤维组织硅钢片的铁损率与碳含量的关系。

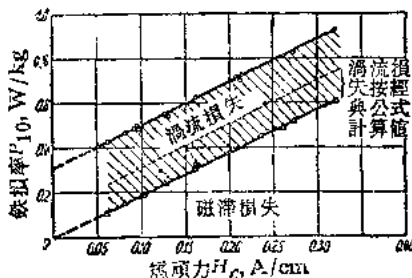


图 9 纤维组织硅钢片的铁损率和矫顽力之间的关系。

顽力之间的相应关系。这个图也同时表明涡流损失与矫顽力毫无关系，所以当钢材从熔炼方面逐步改进时，涡流损失在总的铁损率中所占的比重就显得越来越大。当钢片的铁损率为 0.4 W/kg 时，涡流损失约达总铁损率的 75%。图中表示出涡流损失的测定值比按照经典公式所计算的数值高出相当多。按照计算应该是

$$P_e = \frac{1.643 \times 10^{-15} s^2 f^2 B_m^2}{\delta\rho} \text{ W/kg}$$